

اسفنج‌های اسفینکتوزوئن تریاس بالایی، بخش حوض خان از سازند ناییند در جنوب باختری ناییندان (خاور ایران مرکزی)

کورش رشیدی^{۱*} و بهنام صابرزاده^۲

^۱ استادیار، گروه زمین‌شناسی، دانشگاه پیام نور، تهران، ایران

^۲ دانشجوی دکترا، پردیس بین‌الملل دانشگاه فردوسی مشهد، مشهد، ایران

تاریخ پذیرش: ۱۳۹۱/۰۴/۱۳

تاریخ دریافت: ۱۳۹۲/۱۰/۱۶

چکیده

رسوبات تریاس بالایی ایران مرکزی با سازند ناییند شناخته می‌شود و مجموعه‌ای از رسوبات کربناته و تخریبی است که به عضوهای مختلفی تقسیم شده است. عضوهای کربناته شامل بخش‌های بیدستان و حوض خان می‌باشد که دارای زیا و فلورای متنوعی است. به منظور مطالعه و شناسایی زیستمندان موجود در رسوبات بخش حوض خان از سازند ناییند در جنوب باختری ناییندان، دو برش در منطقه ناییندان انتخاب شد. یکی در جنوب باختری دیگرستم، و دیگری در جنوب باختری مقطع تیپ، که به صورت سیستماتیک نمونه‌برداری شده‌اند. از نقاط مختلف منطقه نمونه‌برداری غیرسیستماتیک نیز انجام شد که به شناسایی جلبک، روزنبر و اسفنج‌های مختلفی انجامید. این مقاله به معرفی اسفنج‌های Nevadahalamia variabilis, Amblysiphonella sp., Discosiphonella sp., Kashanella irregularis, Paradeneringer alpina, Tabasia maxima, Nevadahalamia variabilis, Amblysiphonella sp., Discosiphonella sp., Kashanella irregularis, Paradeneringer alpina, Tabasia maxima, Tabasia media, Tabasia minima از عضو حوض خان می‌پردازد. همچنین مطالعات سنگ‌شناختی به همراه ساختمان‌های رسوبی و میکروفاسیس‌های مطالعه شده، گویای تشکیل عضو حوض خان در یک دریاچه کم‌ژرف‌را در نزدیکی ساحل می‌باشد. گاهی شرایط برای رشد موجودات ریف‌ساز فراهم بوده و در نتیجه ریف‌های پراکنده و کوچکی را در عضو حوض خان در ناحیه شکل داده‌اند.

کلید واژه‌ها: تریاس بالایی، اسفینکتوزوئن، اسفنج، حوض خان، سازند ناییند، ایران مرکزی

*نویسنده مسؤول: کورش رشیدی

E-mail: kooroshrashidi@pnu.ac.ir

۱- پیش‌گفتار

اول لایه‌هایی از رسوبات تخریبی می‌باشد که بیشتر در قسمت قاعده توالي جای گرفته‌اند، و شامل شیل‌های ماسه‌ای و شیل‌های ورقه‌ای تیره رنگ، لایه‌های ماسه‌سنگی نازک تا سبزلاشه و مارن هستند و بخش دوم از لایه‌های آهکی بدون ساختمان ریفی و آهک‌های ریفی و صخره‌ساز خاکستری رنگ تشکیل شده است، این لایه‌ها اکثرًا در قسمت‌های بالایی توالي قرار گرفته‌اند و دارای مقادیر فراوانی از انواع ماکروفیل‌های اسفنج (Senowbari-Daryan, 2005; Fürsich et al., 2005, 2011b, 2011c; Senowbari-Daryan et al., 1997, 2005) و میکروفیل‌های روزنبر (Repin, 1996), شکم‌پا (Nützel & Senowbari-Daryan, 1999) و جلبک‌های (Senowbari-Daryan et al., 2011a; Senowbari-Daryan & Hamadani, 2000) آهکی باشند. پس از انجام مراحل آزمایشگاهی و مطالعه نمونه‌ها، ۵ تاکسون در حد گونه از اسفنج‌های اسفینکتوزوئن در این منطقه شناسایی شد.

۲- بحث

اسفنج‌ها گروهی از ساده‌ترین متازوئن‌های ثابت دریایی هستند، که دارای کانال‌های ورودی و خروجی آب بوده و سلول‌های با زوائد بلند یا شلاق‌دار (Choanocytes) آب را به داخل بدن پمپ می‌نمایند. این آب حاوی اکسیژن و مواد غذایی است که بعد از استفاده این مواد توسط اسفنج، آب از کانال‌ها و اسکولوم به بیرون رانده می‌شود. ثبات و استحکام نسبی اسفنج، به وسیله فیبرهای اسپانچین (Spongine)، اسکلت سیلیسی یا کربنات کلسیم به وجود می‌آید. تقسیم‌بندی اصلی این گروه از موجودات، به سه رده مشخص هگزاکتینلیده (Hexactinellida)، دمواسپوئزیا (Demospongiae) و آهکی (Calcarea) یا Calcispongia (Calcspongia) تقسیم می‌شوند و تمام این گروه‌ها در پروتزویک پایانی ظاهر شده‌اند. رده آرکتوسیاتیده که در کامبرین از بین رفته، به گروه دمواسپوئزیا تعلق دارد. گروه‌های فسیلی اسفینکتوزوئن

Douglas (1929) سازند ناییند را در خاور ایران شناسایی نمود و آن را به سه گروه تقسیم کرد: حوض شیخ در پایین (با سن لادین- کارنین)، ناییند در وسط (با سن نورین) و حوض خان در بالا (با سن رتین). (1961) Stöcklin سازند ناییند را معرفی و صرفاً سن تریاس بالایی را برای آن پیشنهاد نمود. Brönnimann et al. (1971, 1972) در ۲۰ کیلومتری باختری دهکده ناییندان این سازند را مطالعه، و آن را به چهار بخش تقسیم نمودند که از پایین به بالا عبارتند از گلکان، بیدستان، حوض شیخ، حوض خان (شهرابی، ۱۳۷۸) و سپس در سال ۱۳۵۵ برش الگوی معرفی شده توسط Brönnimann et al. (1971) که در پهلوی جنوبی کوه ناییند به سمت راست بالغ بر ۲۲۰۰ متر اندازه گیری شده بود، به عنوان مقطع تیپ مورد تصویب کمیته ملی چینه‌شناسی ایران قرار گرفت (آقاباتی، ۱۳۸۵). پس از آن (1978) Kluyver et al. شه عضو غیر رسمی جدید را به آن افزودند که شامل شیل زغال‌دار، ماسه‌سنگ، سنگ آهک مرجانی و ماسه‌سنگ سرخ در بالا است. ناحیه مورد مطالعه در بخش جنوب باختری کوه ناییند، و در فاصله ۲۲۰ کیلومتری شمال استان کرمان قرار دارد. برای مطالعه اسفنج‌های اسفینکتوزوئن دو برش چینه‌شناسی بر روی رسوبات بخش حوض خان از سازند ناییند در منطقه ناییندان انتخاب و همچنین از نقاط مختلف منطقه به صورت غیرسیستماتیک نمونه‌برداری انجام شد. قاعده برش چینه‌شناسی اول با مختصات جغرافیایی (N: ۳۲°, E: ۵۷°, 27°, 213°) با ارتفاع ۹۷۷ متری از سطح دریا است. این برش با سمت راست ۲۴۵ متر، تقریباً در فاصله ۷ کیلومتری جنوب باختری دهکده ناییندان، و برش چینه‌شناسی دوم با مختصات جغرافیایی (N: ۳۲°, ۱۵°, ۹۱۷°; E: ۵۷°, ۲۴°, 942°) با ارتفاع ۱۲۳۷ متری از سطح دریا واقع است. سمت راست ۱۸۹ متر و در فاصله ۸ کیلومتری جنوب باختری برش چینه‌شناسی اول و ۱۵ کیلومتری جنوب باختری دهکده ناییندان می‌باشد. (شکل ۱). به طور کلی توالي‌های مورد مطالعه در این ناحیه به دو بخش عمده تقسیم می‌شوند. بخش

ساخترها در قسمت‌هایی از حجرات دارای تراکم بیشتری بوده، و حجرات قدیمی تر نسبت به حجرات جوان‌تر ساختارهای اسکلتی بیشتری دارند (Pl. 1, Figs A-B, F). در این گونه قطر خارجی اسفنج بین ۱۱.۶-۲۲.۴ mm، ستبرای دیواره خارجی بین ۰.۵-۲ mm، قطر اسپوتنیول بین ۲.۵-۸.۵ mm، ستبرای دیواره اسپوتنیول بین ۰.۴-۱.۲ mm و حجرات ارتقایی در حدود ۷.۵-۲ mm دارند. قطر منفذ خارجی اسفنج بین ۰.۱-۱ mm است و قطر منفذی که از حجرات به اسپوتنیول متصل هستند بین ۰.۱-۱.۵ mm می‌باشد.

Family Sebargasiidae LAUBENFELS, 1955

(Pro Sphaerosiphonidae STEINMANN, 1882)

Subfamily Sebargasiinae SENOWBARI-DARYAN, 1990

Genus *Amblysiphonella* STEINMANN, 1882

Type species: *Amblysiphonella barroisi* STEINMANN, 1882.

Amblysiphonella sp.

(Pl. 1, Figs. G-I, Text-Fig, 3)

توصیف نمونه: این جنس توسط Steinmann (1882) معرفی گردید و تا کنون بیش از ۵۰ گونه از این اسفنج از پالثوزویک و تریاس شناسایی شده، (Senowbari-Daryan & Garcia-Bellido, 2002)، که فقط یک نمونه از این جنس در این مطالعه شناسایی شده است. شکل کلی این اسفنج استوانه‌ای شکل، دیواره خارجی دارای حالت موجی بوده، و به صورت منفرد و ندرتاً به صورت چند شاخه دیده می‌شود. دیواره حجرات منفذدار، و منفذ در این جنس به صورت ساده و منشعب دیده می‌شوند (شکل ۳). حجره‌ها به صورت حلقوی شکل روی هم قرار گرفته و فاقد ساختار پرکننده اسکلتی می‌باشند (Pl. 2, Figs G-H). قطر خارجی این اسفنج بین ۱۱-۲۴.۵ mm بوده و ستبرای دیواره خارجی بین ۰.۵-۲ mm است. در این اسفنج اسپوتنیول از نوع رتروسیفونات (Retrosiphonate) است، که از میان بخش مرکزی تمامی حجرات عبور کرده و قطری بین ۱.۳-۸ mm دارد. ستبرای دیواره اسپوتنیول بین ۰.۱-۰.۹ mm متغیر است و حجرات در این اسفنج ارتقایی بین ۰.۲-۰.۹ mm ۴-۹ دارند. قطر منفذی پرکننده حجرات در سطح خارجی این اسفنج بین ۰.۵-۱.۵ mm است. تفاوت این جنس با جنس اسپوتنیول متصل می‌کنند قطری بین ۰.۲-۰.۹ mm بوده، که به صورت نامنظم در کنار یکدیگر قرار گرفته‌اند. منفذی که حجرات را به اسپوتنیول متصل می‌کنند قطری بین ۰.۵-۱.۵ mm است. تفاوت این جنس با جنس *Nevadathalamia* در ساختار اسکلتی پرکننده حجرات و منفذ روی سطح اسفنج می‌باشد، به طوری که این جنس برخلاف *Nevadathalamia* فاقد ساختار اسکلتی پرکننده در حجره‌ها بوده، و منفذ روی سطح خارجی اسفنج نیز به شکل ساده‌ای هستند.

Subfamily Cystothalamiinae GIRTZ, 1909

Genus *Discosiphonella* INAI, 1936

Type species: *Discosiphonella manchuriensis* INAI, 1936.

Discosiphonella sp.

(Pl. 2, Figs. A-B, Text-Fig, 4)

توصیف نمونه: شکل کلی اسفنج به صورت استوانه‌ای شکل، و شاخه شاخه است. حجرات کم و بیش در یک ردیف و به صورت نامنظم و با آرایش مونوگلومرایت (Monogglomerate) در اطراف اسپوتنیول مرکزی قرار دارند که در برخی از مواد اسپوتنیول به خوبی مشاهده نمی‌شود. تمام دیواره‌ها به صورت تک لایه بوده و دارای منفذ کوچک زیادی هستند (Pl. 2, Figs A-B). در این جنس حجرات به صورت کیسه مانند دیده می‌شوند، قطر خارجی این اسفنج در حدود ۲۰ mm، و ستبرای دیواره خارجی بین ۰.۲-۱ mm می‌باشد. ارتفاع حجره‌ها در این جنس بین ۱.۵-۳ mm بوده، و اسپوتنیول دارای قطری بین ۱-۱.۴ mm، و ستبرای دیواره آن در حدود ۰.۱ mm می‌باشد. منفذ سطح خارجی اسفنج قطری بین ۰.۲-۰.۵ mm

(Chaetetida) (Sphinctozoa) استروماتوپورید (Stromatoporoidea) و شتید (Stromatoporoidea) براساس ساختمان نه براساس فیلوزنی به این گروه تعلق دارند. اصطلاح اسفینکتوزوئن در ابتدا توسط Steinmann (1882) برای اسفنجهای حجره‌دار با اسکلت سخت کریباته به کار برده شد، قبل این اسفنجه را به رده Calcarea یا کلسی اسپوتنیول نسبت می‌دادند (Senowbari-Daryan & Garcia-Bellido, 2002). مطالعات دقیق دهه‌های اخیر نشان داده، که اسفنجهای حجره‌دار در گروههای با منشأ متفاوت قرار می‌گیرند. بنابراین اصطلاح اسفینکتوزوئن یا تالامیدهای نمی‌تواند مفهوم سیستماتیک داشته باشد. این گروه از موجودات در کامبرین ظاهر شده و در اردوویسین متوجه شده‌اند. سپس در دونین از فراوانی آن‌ها کاسته و مجدد بعد از این دوره تنوع و فراوانی آنها زیاد شد. اوج فراوانی و شکوفایی آنها در پرمین و تریاس می‌باشد. در انتهای تریاس از تنوع آنها کم شده، به طوری که امروزه از فراوانی آنها به شدت کاسته شده است. تمام اسفینکتوزوئن‌ها در ۹ راسته و ۴۲ فامیلی قرار داشته، که تا سال ۲۰۰۲ در ۱۴۱ جنس و ۴۴۹ گونه جای گرفته‌اند (Senowbari-Daryan & Garcia-Bellido, 2002).

مطالعات صنوبری داریان در دو دهه اخیر بر روی اسفنجهای تریاس در ایران نشان می‌دهد غنای اسفینکتوزوئن‌ها در ریف‌های سازند نایبند از مابقی گروههای اسفنج نسبتاً بیشتر است. شناسایی این گروه اسفنجهای علاوه بر شکل ظاهری، شکل حجرات و ساختمان اسکلتی نیز باید مورد توجه قرار گیرند. در این مطالعه بعد از تهیه مقاطع در مقیاس بزرگ شناسایی اسفنجهای انجام گردید که اسفنجهای *Nevadathalamia variabilis*, *Amblysiphonella* sp., *Discosiphonella* sp., *Kashanella irregularis*, *Paradeningeria alpina*, *Tabasia maxima*, *Tabasia media*, *Tabasia minima*,

۳- سیستماتیک

Family Polytholosiidae SEILACHER, 1962

Subfamily Polytholosiinae SENOWBARI-DARYAN, 1990

Genus *Nevadathalamia* SENOWBARI-DARYAN, 1990

Type species: *Polytholosia cylindrica* SEILACHER, 1962.

Nevadathalamia variabilis SENOWBARI-DARYAN, 2005

(Pl. 1, Figs. A-F, Text-Fig, 2)

2005 *Nevadathalamia* sp.- Fürsich et al., pl. 7, fig. 5

* 2005 *Nevadathalamia variabilis* nov. sp.- Senowbari-Daryan, p. 185, pl. 10, figs. 1-6, 7?, pl. 11, figs. 1-6, pl. 28, figs. 12-14.

2011c *Nevadathalamia variabilis* Senowbari-Daryan.- Senowbari-Daryan et al., p. 271, pl. 1, figs. F-G.

2011 *Nevadathalamia variabilis* Senowbari-Daryan.- Rashidi & Senowbari-Daryan, pl. 4, fig A.

توصیف نمونه: این جنس در ابتدا توسط Senowbari-Daryan (1990) در سال ۲۰۰۵ توسط همین مؤلف از تریاس ایران معرفی گردید. با توجه به نمونه‌های به دست آمده، شکل کلی این اسفنج به صورت استوانه‌ای شکل و منفرد بوده و دارای حجرات حلقوی شکلی است. حجرات سری جدید کمی از حجرات ما قبل خود را پوشانده و حالت موجی را در روی سطح خارجی این اسفنج به وجود می‌آورد. این جنس دارای اسپوتنیول مرکزی با دیواره ستبر (مشابه با دیواره خارجی، شکل ۲) از نوع *Retrosiphonate* است، که حجرات در اطراف آن قرار گرفته‌اند. دیواره حجرات منفذدار، منفذ به صورت منفرد و در روی سطح خارجی به صورت ستاره‌ای شکل تا مدور، به صورت کاملاً نامنظم در کنار یکدیگر قرار گرفته‌اند (Pl. 1, Figs C-D). بخش‌های داخلی بعضی از حجره‌ها توسط ساختارهای اسکلتی دانه‌ای یا لوله‌ای شکل پر شده که این

Type species: *Tabasia maxima* SENOWBARI-DARYAN, 2005.

Tabasia maxima SENOWBARI-DARYAN, 2005

(Pl. 3, Figs. E-I, Text-Fig, 7)

* 2005 *Tabasia maxima* nov. sp.- Senowbari-Daryan, p. 196, pl. 24, fig. 4, pl. 25, fig. 5, pl. 28, figs. 10-11, Text-fig. 16

2011. *Tabasia maxima* Senowbari-Daryan - Rashidi & Senowbari-Daryan, p. 12, figs. H-D.

توصیف نمونه: این جنس توسط صنوبیری داریان در سال ۲۰۰۵ معرفی و در گروه اسفنج‌های حجره‌دار (Sphinctozoid) قرار گرفت، و گونه *Tabasia maxima* نیز یکی از چند گونه‌ای است که در همان سال معرفی گردید و بزرگترین گونه از این جنس می‌باشد. شکل کلی این اسفنج به صورت تک و یا شاخه شاخه، مخروطی شکل و نسبتاً پهن، و با حجره‌های مسطح تا موجی شکل است که به صورت برآمدگی و فروفتگی‌های افقی نامنظم بر روی بخش‌های خارجی اسفنج آشکارا دیده می‌شود (Pl. 3, Fig E, H-I). در قسمت بالایی اسفنج بیشترین افزایش اندازه حجرات دیده می‌شود. دیواره خارجی دارای یک سیستم روزنه‌ای (منفذ) پیچیده بوده، و کانال‌های برنده آب به دهانه‌های بیضوی تا چند ضلعی متعدد می‌شوند که در بخش بالایی اسفنج قرار دارند (Pl. 3, Figs. F-G). قطر خارجی اسفنج بین 20-43 mm است، ژرفای خطوط جداکننده دیواره بین 1.3-2 mm و ارتفاع حجرات بین 9.5-31.8 mm می‌باشد. دهانه اسفنج در این گونه قطری در حدود 4.5-1 mm دارد.

Tabasia media SENOWBARI-DARYAN, 2005

(Pl. 4, Figs. A-G., Text-Fig, 8)

* 2005 *Tabasia media* nov. sp.- Senowbari-Daryan, p. 197, pl. 23, figs. 1, 6, pl. 24, figs. 1-2, 5-6, pl. 26, figs. 1-5, pl. 27, figs. 1-7, pl. 30, figs. 6-7

2011. *Tabasia media* Senowbari-Daryan - Rashidi & Senowbari-Daryan, p1. 9, fig. D.

توصیف نمونه: این اسفنج به صورت مخروطی شکل با حاشیه نامنظم، تک و در بعضی از نمونه‌ها به صورت شاخه می‌باشد، که در قسمت بالایی کمی افزایش اندازه مشاهده می‌شود و از لحاظ اندازه این گونه نسبت به گونه *maxima* کوچک‌تر است. در این گونه حجره‌ها نسبتاً بلند بوده و ارتفاع حجرات بین 0.5-6 mm می‌باشد. در این اسفنج کانال‌های آورنده یا برنده آب به دهانه‌های مدور، بیضی و یا ستاره‌ای شکلی که در بخش بالایی اسفنج قرار دارند، متعدد می‌شوند. دیواره حجرات دارای سیستم کانال پیچیده و تعدادی از منفذ می‌باشد که این منفذ به صورت نامنظم در کنار هم قرار گرفته‌اند. قطر خارجی اسفنج بین 10-20 mm و قطر دهانه در این اسفنج بین 4-16.6 mm است.

Tabasia minima SENOWBARI-DARYAN, 2005

(Pl. 4, Figs. H-P, Text-Fig, 9)

* 2005 *Tabasia minima* nov. sp.- Senowbari-Daryan, p. 197, pl. 28, figs. 1-3, 4?, 5-9

2011. *Tabasia minima* Senowbari-Daryan - Rashidi & Senowbari-Daryan, pl.2, fig. M; pl.12, figs. A-C.

توصیف نمونه: شکل کلی این گونه استوانه‌ای شکل، و کوچک‌ترین گونه از جنس *Tabasia* می‌باشد. حجره‌ها معمولاً به صورت مورب قرار دارند. ستبرای خارجی در این اسفنج تقریباً در تمام نواحی یکسان بوده و اندازه حجرات به سمت بالا به صورت خیلی آهسته اضافه می‌شود. سطح بالایی این گونه به صورت قیفی مانند است که منفذ تقریباً مدوری در داخل آن قرار دارند. قطر خارجی اسفنج بین 6-9 mm است. ارتفاع حجرات بین 1-2.5 mm بوده، و قطر دهانه در این گونه بین

دارند و منفذی که از حجرات به اسپونژیوسل متصل می‌شوند، دارای قطری بین 0.2-1.2 mm هستند.

Family Colospongiidae SENOWBARI-DARYAN, 1990

Subfamily Kashanelliinae SENOWBARI-DARYAN, 2005

Genus *Kashanella* SENOWBARI-DARYAN, 2005

Type species: *Kashanella irregularis* SENOWBARI-DARYAN, 2005

Kashanella irregularis SENOWBARI-DARYAN, 2005

(Pl. 2, Figs C-E., Text-Fig, 5)

* 2005 *Kashanella irregularis* nov. sp.- Senowbari-Daryan, p. 181, pl. 5, fig. 4, pl. 19, fig. 6, pl. 20, fig. 7, pl. 21, figs. 6-7.

2009 *Kashanella irregularis* Senowbari-Daryan.- Senowbari-Daryan et al., p. 115, pl. 2, fig. H-I, pl. 3, A/2, H-I, pl. 15, fig. E.

2011 *Kashanella irregularis* Senowbari-Daryan.- Rashidi & Senowbari-Daryan, pl. 2, figs K-L; pl. 4, figs E, H-I.

توصیف نمونه: اسفنج *Kashanella irregularis* در سال ۲۰۰۵ از ریف‌های سازند نایین در جنوب میمه اصفهان معرفی و توصیف گردید. این جنس، اسفنج حجره‌داری است که از چندین حجره مدور یا بیضی شکل تشکیل شده، حجرات در اشکال نامنظم و با آرایش مونیلیفورم (Moniliform) بر روی یکدیگر قرار گرفته‌اند. این اسفنج دیواره حجرات آن است که دارای تعداد زیادی منفذ از ویژگی‌های باز این اسفنج دیواره حجرات آن است که دارای یکدیگر بوده، و این منفذ به صورت نامنظم و به صورت شبکه‌ای فشرده در کنار یکدیگر قرار گرفته‌اند. قطر خارجی این اسفنج بین 1-3.5 mm، و سمترا ای دیواره خارجی بین 0.1-0.5 mm می‌باشد. قطر منفذ این اسفنج در سطح خارجی بین 0.1-0.4 mm می‌باشد. و ساختارهای پرکننده در این جنس دیده نمی‌شوند.

Genus *Paradeningeria* SENOWBARI-DARYAN & SCHÄFER, 1979

Type species: *Paradeningeria alpina* SENOWBARI-DARYAN & SCHÄFER, 1979.

Paradeningeria alpina SENOWBARI-DARYAN & SCHÄFER, 1979

(Pl. 3, Figs. A-D, Text-Fig, 6)

* 1979 *Paradeningeria alpina* nov. sp.- Senowbari-Daryan & Schäfer, p. 22, Taf. 2, fig. 2, 4-5, 7, Taf. 4, fig. 6, Taf. 5, fig. 6

2005 *Paradeningeria alpina* Senowbari-Daryan & Schäfer - Senowbari-Daryan, p. 191, pl. 17, figs. 1-3, pl. 18, figs. 5, 6?, pl. 19, figs. 1, 2A

2011. *Paradeningeria alpina* Senowbari-Daryan & Schäfer – Rashidi & Senowbari-Daryan, p. 2, figs D, G-H; pl. 4, figK; pl. 9, fig2.

توصیف نمونه: این اسفنج حجره‌دار دارای ساقه یک یا چندشاخه می‌باشد. ساختار مشبک یا زنبوری شکل فضای بین دیواره خارجی و اسپونژیوسل را پر می‌کند و کانال مرکزی از نوع Prosiphonat بوده، که از سرتاسر اسفنج عبور می‌کند. تعداد حجرات در این جنس نسبتاً زیاد بوده، که در مقاطع عرضی کروی و در مقاطع طولی گلدان مانند و یا بشکه مانند دیده می‌شوند. ارتفاع حجره‌ها بین 1.8-6.5 mm است، که در مقایسه با عرض حجرات دارای اندازه بزرگ‌تری می‌باشند. دیواره داخلی در بعضی از نمونه‌ها به خوبی دیده می‌شود. قطر اسپونژیوسل در این جنس بین 0.5-6 mm، قطر خارجی اسفنج بین 2.3-9.4 mm و سمترا ای دیواره خارجی بین 0.1-1.7 mm متغیر است. روی سطح خارجی اسفنج منفذی وجود داشته، که قطری در حدود 0.1-0.4 mm دارد. قطر منفذی که از حجره‌ها به اسپونژیوسل متصل می‌شوند، بین 0.1-0.4 mm است.

Family Tabasiidae SENOWBARI-DARYAN, 2005

Genus *Tabasia* SENOWBARI-DARYAN, 2005

با ورود مواد تخریبی نسبتاً کم بوده است. نکته دیگر اینکه در بخش حوض شیخ که عمدها ماسه‌سنگ و شیل‌های سبز رنگ وجود دارد به شدت از فراوانی موجودات کاسته شده است. اما هیچگاه موجودات از بین نمی‌روند ولی ساختمان‌های ریفی بسیار کوچک را شکل می‌دهند که در پیمایش پروفیل اول دیده می‌شود. همچنین تنوع موجودات از جمله جلبک‌ها و روزنبران در این لایه‌ها نشان‌دهنده این است که بخش‌هایی از کربنات‌ها در محیط‌های لاگون تشکیل شده‌اند.

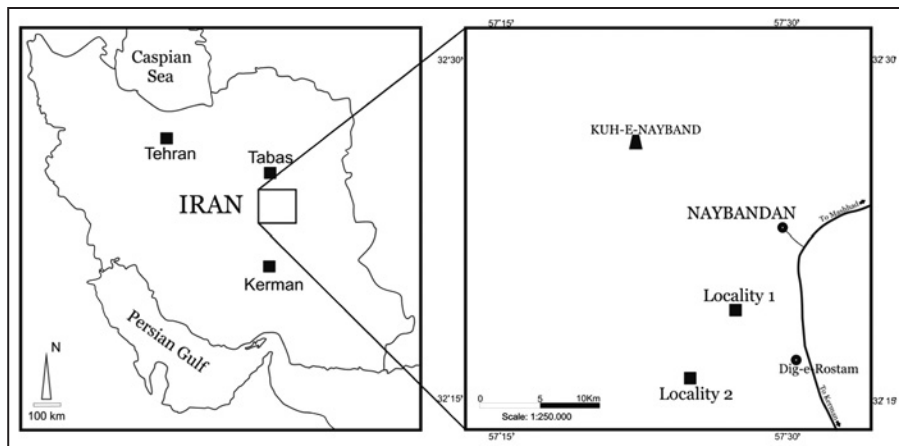
سپاسکزاری

نگارندگان بر خود لازم می‌دانند از استاد فرهیخته و بزرگوار، جناب آقای پروفسور بابا صنوبری داریان، استاد تمام دانشگاه ارلانگن آلمان، که زحمت مطالعه این مقاله را بر عهده داشته و همچنین در طول این دوران از راهنمایی‌های ارزنده ایشان بهره‌مند شده‌اند، تشکر و سپاسگزاری نمایند.

4-7.5 mm می‌باشد. در این اسفنج کانال‌های آورنده یا برنده آب به بخش بالایی اسفنج منتهی می‌شوند.

۴- نتیجه‌گیری

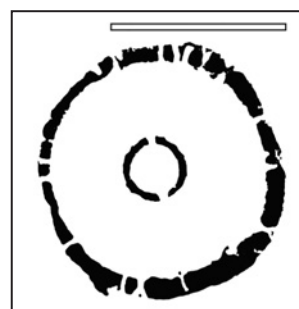
رسوبات کربناته سازند نایبند با گسترش و پراکندگی زیادی که دارند دارای انواع فسیل‌های گاستروپود، جلبک، برکیوپود، اسفنج، مرجان و روزنبران هستند. نکته قابل توجه در این مطالعات نشان‌دهنده این است که ریف‌های موجود در منطقه به رغم تشکیل در یک حوضه رسوبی نسبتاً کم‌ژرف، به وجود آورندگان متفاوتی دارند، زیرا در یک ریف عناصری وجود دارد که بعضاً در ریف مجاور یا به طور کلی وجود ندارد و یا به شدت از تعداد آن کاسته شده است و چنین ویژگی در اینجا کاملاً دیده می‌شود. نکته قابل فهم اینکه ساختمان داخلی از ویژگی‌های مهم برای شناسایی آنها است. محیط تشکیل این ریف‌ها که به صورت پراکنده وجود دارند، یک دریای باز



شکل ۱- موقعیت جغرافیایی و راه‌های دسترسی به برش‌های چینه‌شناشی مورد مطالعه



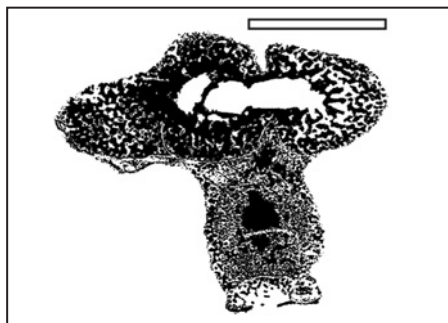
شکل ۴- Discosiphonella sp.; برش طولی و کمی مایل، نمونه مطالعه شده از سازند نایبند بخش حوضخان، با سطح بیرونی موجی، منفذ درشت و ساده در دیواره خارجی، اسپوتنزروسل لوله‌ای با منفذ درشت تقریباً برابر با منفذ بیرونی (شکل رسم شده از A, Pl. 2, Fig. A)، مقیاس شکل (1 cm).



شکل ۳- Amblysiphonella sp.; برش عرضی، نمونه مطالعه شده از سازند نایبند بخش حوضخان دارای دیواره خارجی با منفذ ساده و بعضی از منفذ مشubb، دیواره اسپوتنزروسل با ستبرایی کمتر از دیواره بیرونی و منفذی درشت‌تر (رسم شده از H, Pl. 1, Fig. A)، مقیاس شکل (1 cm).



شکل ۲- Nevadathalamia variabilis; برش عرضی، نمونه مطالعه شده از سازند نایبند بخش حوضخان دارای دیواره خارجی با منفذ ورودی، ساختمان پرکنده حجرات و دیواره داخلی با ستبرایی مشابه با دیواره خارجی (شکل رسم شده از H, Pl. 1, Fig. A)، مقیاس شکل (1 cm).



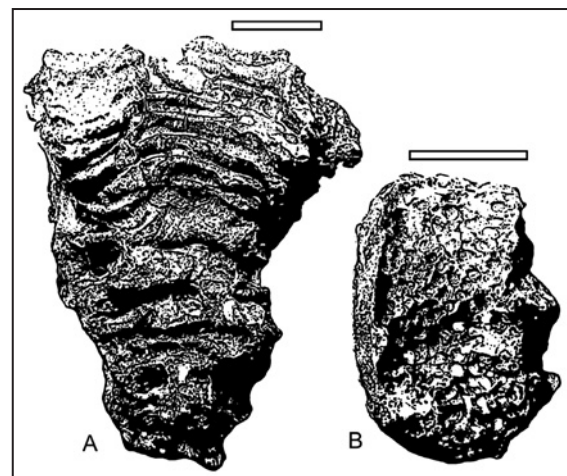
شکل -۶ *Paradeningeria alpine* : برش عرضی و کمی مایل از دو نمونه چسبیده به همدیگر، نمونه مطالعه شده از سازند ناییند بخش حوض خان، دارای اسکلت پرکننده مشبک بین دیواره خارجی و اپوئنژیوسل، (شکل رسم شده از ۵ mm، مقیاس شکل 5 mm، Pl. 3, Fig. C)



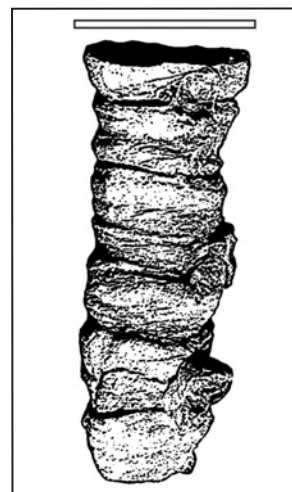
شکل -۵ *Kashanella irregularis* : برش طولی و کمی مایل از تعدادی حجره نامنظم، (نمونه مطالعه شده از سازند ناییند بخش حوض خان، شکل رسم شده از ۰.۵ cm، Pl. 2, Fig. E)



شکل -۸ *Tabasia media* : نمونه ایزوله، مطالعه شده از سازند ناییند بخش حوض خان، نمای کلی اسفنج، دارای شیارهای افقی در سطح که در قسمت های بالایی بزرگتر و ژرف تر می شوند (رسم شده از ۱ cm، مقیاس شکل 1 cm، Pl. 4, Fig. B)

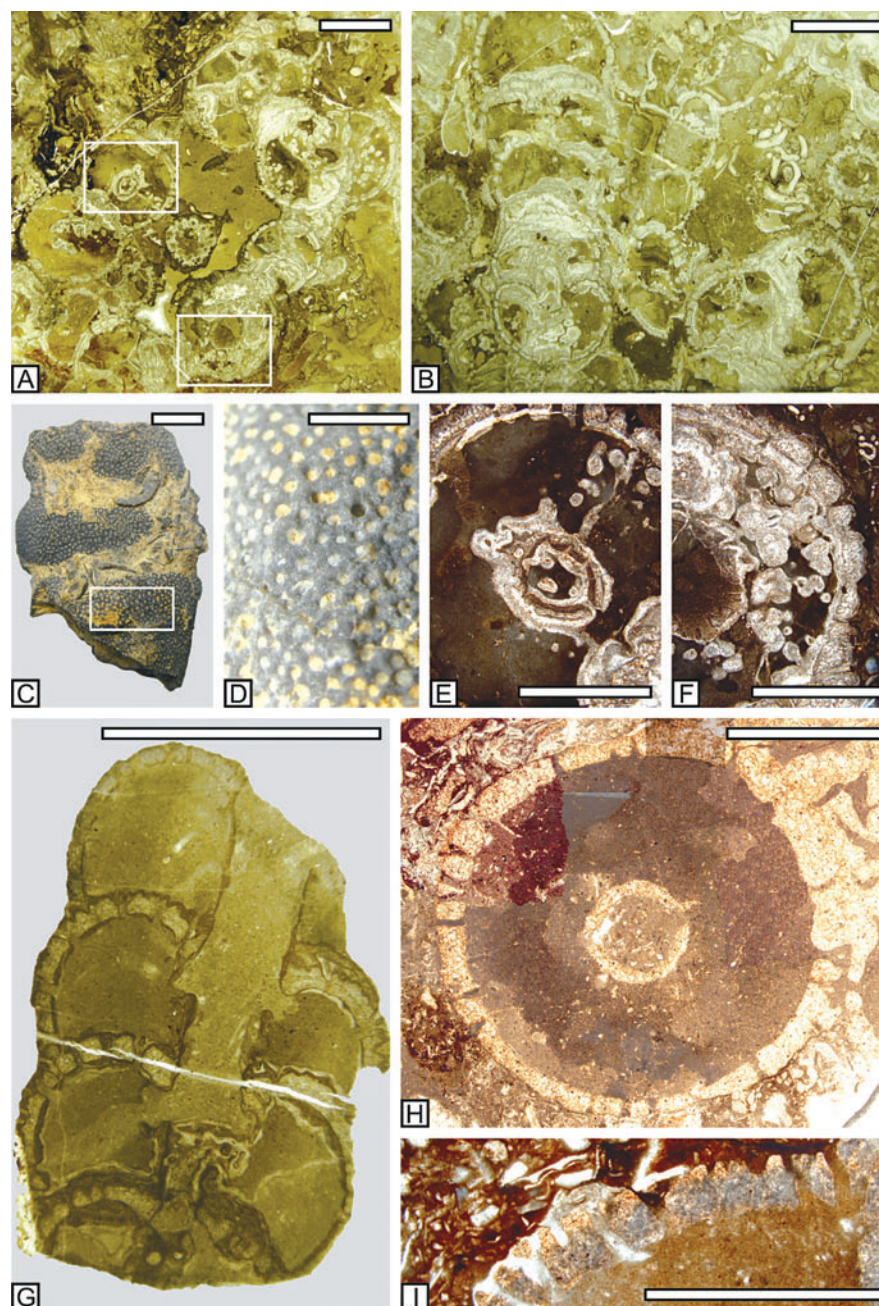


شکل -۷ *Tabasia maxima* ، نمونه ایزوله، مطالعه شده از سازند ناییند بخش حوض خان، شکل A نمای کلی اسفنج، مخروطی شکل، با حجرات پهن شده که در سطح به صورت تعدادی شیار سیر که در قسمت بالایی اسفنج بهتر دیده می شود (رسم شده از Pl. 3, Fig. E). شکل B قسمت بالایی اسفنج با تعداد زیادی دهانه در آخرین حجره (رسم شده از Pl. 3, Fig. G) مقیاس در هر دو تصویر (1 cm).



شکل -۹ *Tabasia minima* ، نمونه ایزوله، مطالعه شده از سازند ناییند، بخش حوض خان، با شکل استوانه ای و شیارهای ظریف که گویای جدایش حجرات در بخش داخلی است. (شکل رسم شده از Pl. 4, Fig. K) مقیاس (1 cm).

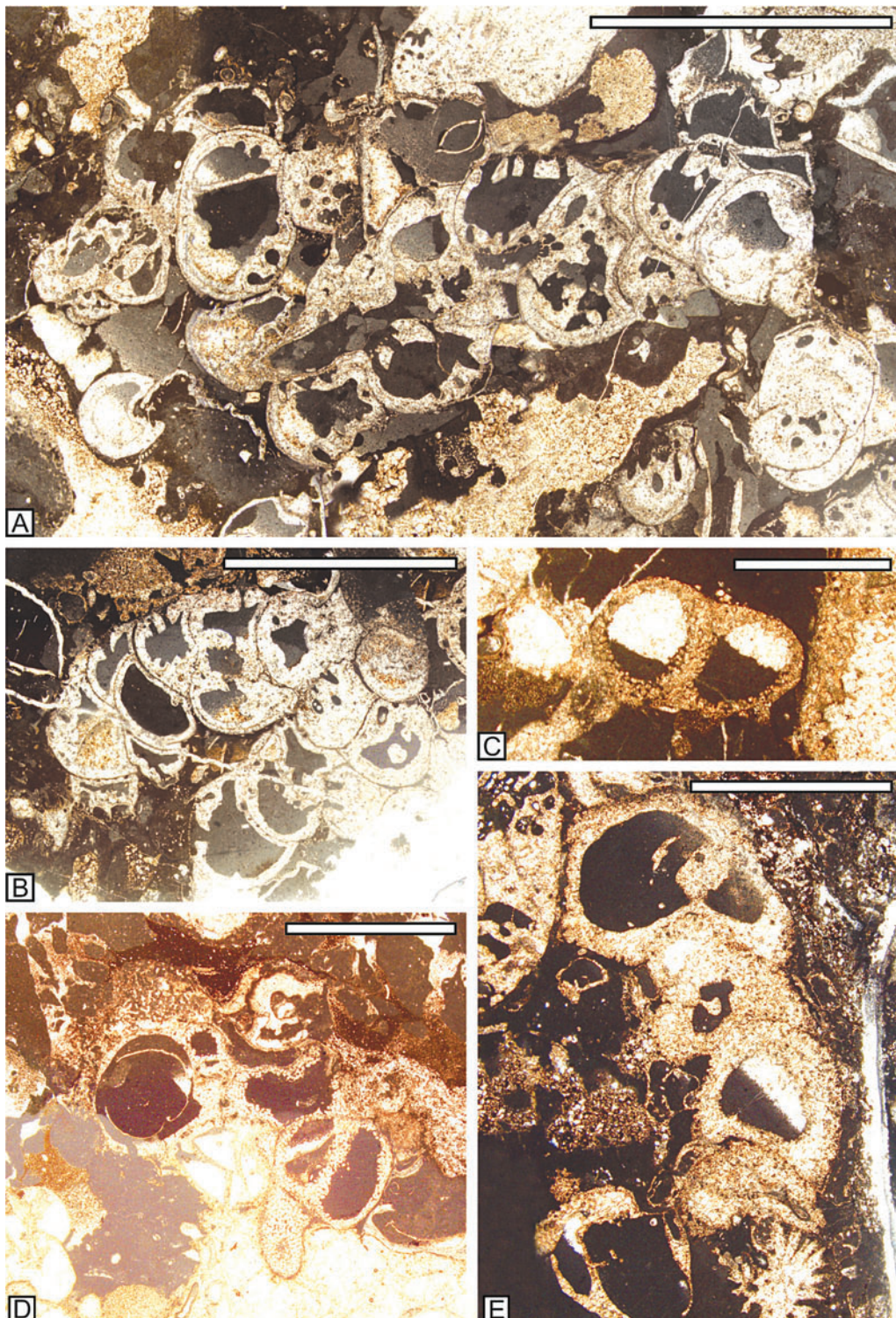
Plate 1



Figs. A-F: *Nevadathalamia variabilis* SENOWBARI-DARYAN, 2005. **A:** Transverse and oblique section through several specimens, which exhibit the clearly perforated chamber walls and the granular filling structure within some chamber. **B:** Longitudinal-oblique section through two samples with some chamber from other samples with thin and equally perforated chamber wall, some granular structure filling the older chambers. **C:** Outer surface of the three chambers showing the septal-like pore in the dermal part of the skeleton. **D:** Magnification of Fig. C Showing some part of dermal pores after washing with acid acetic. **E:** Magnification of Fig. A Transverse section of specimen with partly internal filling structure around spongocoel (Upper quadrangle). **F:** of Fig. A (lower quadrangle) exhibiting transverse section of specimen with some granular to tubular filling structure also in around the spongocoel. Scale in A-C 1cm, in D-F 5mm.

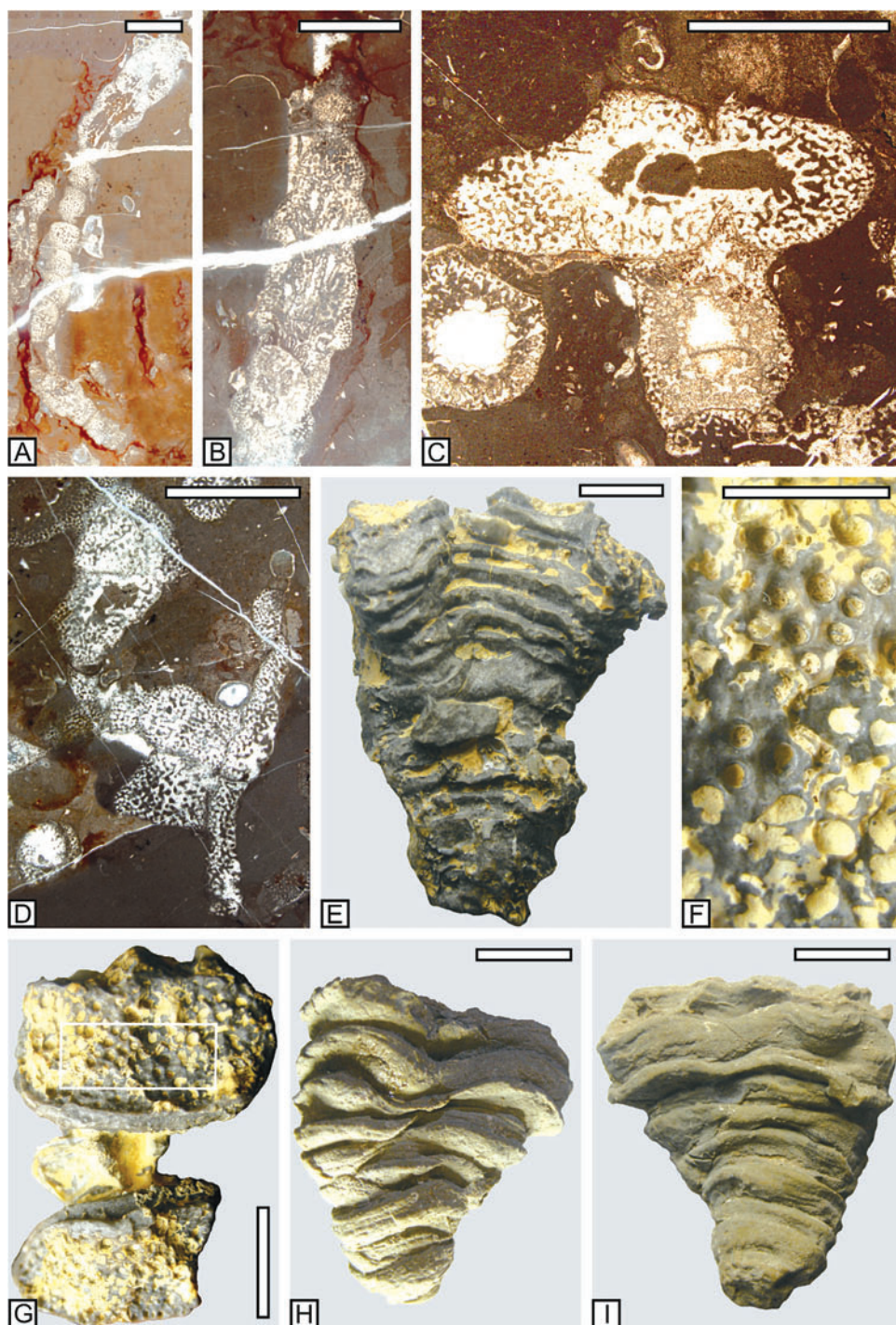
Figs. G-I: *Amblysiphonella* sp., **G:** Longitudinal section through several ring-like chambers around axial spongocoel with perforated walls. **H:** Transverse section from a sample showing the clearly perforated chamber wall. **I:** Magnification of the exo-wall with pores. Scale in G, 1 cm, in H-I 5mm.

Plate 2



Figs. A-B: *Discosiphonella* sp., **A**: Longitudinal-oblique and oblique section from some samples show spongocoel with ring- chamber that each one has a separate floor, there are coarse pore in exo and endo- wall. **B**: Oblique section of two sample that attached two another with coarse pore. Scale in A-B 1 cm.
 Figs. C-E: *Kashanella irregularis* SENOWBARI-DARYAN, 2005, **C**: Section from three irregular chambers. **D**: Sections through several chambers. The chamber walls are pierced by labyrinthic branch canals system. **E**: Sections through several irregular chambers. Scale in C 2mm, in D-E 5mm.

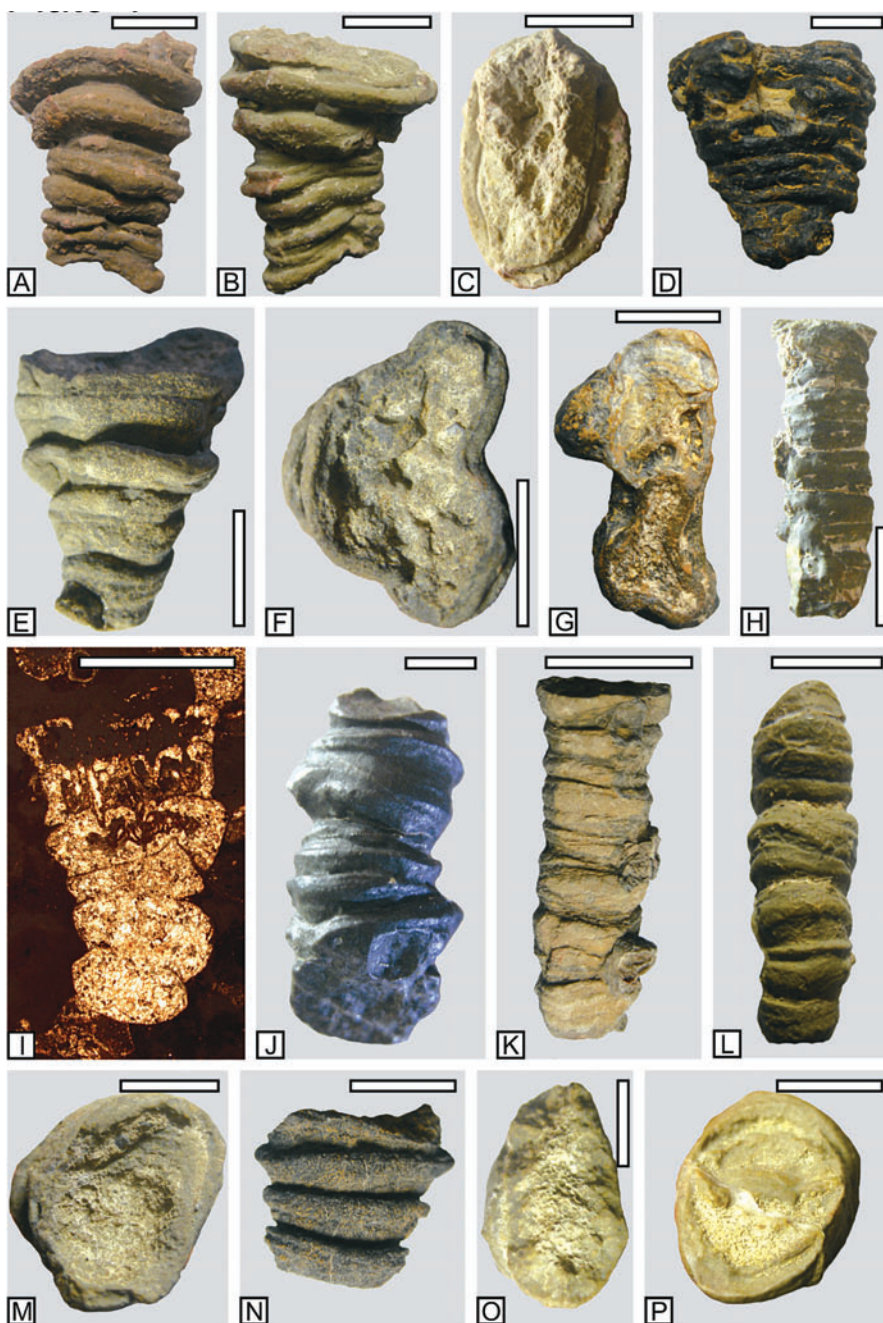
Plate 3



Figs. A-D: *Paradeningeria alpina* SENOWBARI-DARYAN & SCHAFER, 1979, **A**: Longitudinal section through multiple globular to barrel-like chambers. **B**: Longitudinal-marginal section from five chambers shows reticulate filling structure. **C**: Oblique and cross section of three samples show reticulate filling structure and spongocoel. **D**: Oblique-marginal section from some samples shows reticulate filling structure. Scale in A-D 5 mm.

Figs. E-I: *Tabasia maxima* SENOWBARI-DARYAN, 2005, **E**: Side view of a conical specimen shows the flattened low chambers arranged one above other. **F**: Magnification view of the sample G. **G**: The summit of the aggregate two individual forms after washing with acid acetic. **H**: Outer surface shows the irregular flattened low chambers, **I**: View of the other side of sample H. Scale in E, G-I 1 cm. in F 5mm.

Plate 4



Figs. A-G: *Tabasia media* SENOWBARI-DARYAN, 2005, **A**: Side view of a nearly conical specimen shows the irregularly flattened low chambers arranged one above other. **B**: View of the other side of sample A. **C**: Summit of the same specimen (Fig. A) show the opening in last chamber. **D**: Side view of a conical specimen with numerous, partly wedge shaped and irregular chambers. **E**: View of the surface of a specimen. **F**: Summit of the same specimen (Fig. E). **G**: Summit of the same specimen (Fig. D) shows the opening in last chamber. Scale in A-G 1cm.

Figs. H-P: *Tabasia minima* SENOWBARI-DARYAN, 2005, **H, J-L**: All figs represent side views of naturally weathered specimens that lower part of all broken and nearly cylindrical form. **I**: Longitudinal section through a specimen that show the distinct segmentation with filling in some older chambers. **M, O-P**: The summits of specimens show the opening in last chamber. **N**: Side view of a nearly conical broken specimen shows the irregularly flattened low chambers. Scale in H, K-L, N 1cm, in I-J, M, O-P 5mm.

کتابگاری

آفتابی، س.ع.، ۱۳۸۵- زمین‌شناسی ایران، سازمان زمین‌شناسی و اکتشافات معدنی کشور، ۵۸۶ صفحه.
شهرابی، م.، ۱۳۷۸- تریاس در ایران، سازمان زمین‌شناسی و اکتشافات معدنی کشور، ۲۷۹ صفحه.

References

- Brönnimann, P., Zaninetti, L. & Bozorgnia, F., 1972- Triassic (Skythian) smaller foraminifera from the Erika formation of the Central Alborz, Northern Iran, and from the Siusi formation of the Dolomites, Northern Italy. *Mitt. Ges. Geol. Bergbaustud. Innsbruck*. 861-884.
- Brönnimann, P., Zaninetti, L., Bozorgnia, F., Dashti, G. R. & Moshtaghian, A., 1971- Lithostratigraphy and Foraminifera of the Upper Triassic Nayband Formation, Iran. *Rev. Micropaléont.* 7-16.
- Douglas, J., 1929- Triassic fauna from Eastern Persia. *Quart. J. Geol. Soc. London*. 624-650.
- Fürsich, F., Hautmann, M., Senowbari-Daryan, B. & Seyed-Emami, K., 2005- The Upper Triassic Nayband and Darkuh formations of East-Central Iran: Stratigraphy, Facies patterns and biota of extensional basins on accreted terrane. *Beringeria*. 35: 53-133.
- Inai, Y., 1936- *Discosiphonella*, a new ally of *Amblysiphonella*. *Proc. Imp. Acad. Jpn.* 12: 169-171.
- Kluyver, H.M., Triw, R., Chance, P.N., Johns, G.W. & Meixner, H.M., 1978- Explanatory Text of the Naybandan Quadrangle map. 1:250000, 1-143.
- Nützel, A. & Senowbari-Daryan, B., 1999- Gastropods from the Late Triassic (Norian-Rhaetian) Nayband Formation of central Iran. *Beringeria* 23: 93-132.
- Rashidi, K. & Senowbari-Daryan, B., 2011- Sponges from a section of the Upper Triassic Nayband Formation, northeast of Esfahan, central Iran. *Ann. Naturhist. Mus. Wien, Serie A.*, 113: 309-371.
- Repin, Yu. S., 1996- New Late Triassic Bivalves from Iran and a taxonomy of the superfamily Spondylacea. *Paleontological Journal. Birmingham. (USA)*. 30 (4): 363-369.
- Senowbari-Daryan, B., 1990- Die systematische Stellung der thalamiden Schwämme und ihre Bedeutung in der Erdgeschichte. *Münchener gepwiss. Abh.*, A: 1-326.
- Senowbari-Daryan, B., 2005- Hypercalcified Sphinctozoan Sponges from Upper Triassic (Norian-Rhaetian) Reefs of the Nayband Formation (Central and Northeast Iran). *Jb. Geol. B.-A. Wien*. 171-277.
- Senowbari-Daryan, B. & García-Bellido, 2002- "Sphinctozoan" or chambered sponges (polyphyletic), In: J.N.A. Hooper & R.W.M Van Soest (eds.). *Systema Porifera: A Guide to the classification of the Phylum Porifera*. Kluwier Academic/Plenum. 1511-1538.
- Senowbari-Daryan, B. & Hamadani, A., 2000- Obertriadische (Nor) Dasycladaceen aus der Nayband-Formation vom Zentraliran. *Rev. Paléobiol. Genève*. 97-121.
- Senowbari-Daryan, B., Rashidi, K. & Saberzadeh, B., 2011a- Dasycladacean green algae and some problematic algae from the Upper Triassic of Nayband Formation (northeast Iran). *Geologica Carpathica, Slovak.* 501-517.
- Senowbari-Daryan, B., Rashidi, K. & Torabi, H., 2010- Foraminifera and their associations of a possibly Rhaetian section of the Nayband Formation in Central Iran, Northeast of Esfahan. *Facies. Verlag*. 567-596.
- Senowbari-Daryan, B. & Schäfer, P., 1979- Neue Kalkschwämmen und ein Problematisches (*Radiomura cautica* n. g., n. sp.) aus Oberrät-Riffen südlich von Salzburg (Nördliche Kalkalpen). *Mitt. Österr. Geol. ges.*, 70 (1977), Wien. 17-42.
- Senowbari-Daryan, B., Seyed-Emami, K. & Aghanabati, A., 1997- some Inozoid Sponges from Upper Triassic (Norian-Rhaetian) Nayband Formation of Central Iran. *Riv. Ital. Paleont.*, 293-322.
- Senowbari-Daryan, B., Flügel, E. & Wurm, D., 2009- Coralline Schwämme aus dem norisch-rhätischen Dachstein-Riff des Gosaukammes (Nördliche Kalkalpen, österreich). *Jb. Geol. B.-A. Wien*. 111-166.
- Senowbari-Daryan, B., Rashidi, K., Amirzadeh, M., Saberzadeh, B. & Talebi, A., 2011b- Sponges from the Upper Triassic (Norian-Rhaetian) Nayband-Formation, Northeast Iran. *Jb. Geol. B. A. Wien*. 347-355.
- Senowbari-Daryan, B., Rashidi, K. & Beitollah, H., 2011c- Hypercalcified Sponges from a small reef within the Norian-Rhaetian Nayband Formation near Yazd, Central Iran. *Riv. It. Paleont. e Stratigrafia*. 269-281.
- Steinmann G., 1882- Pharetronen-Studien. *Neues Jahrb Mineral., Geol. Paläont.* 139-191.
- Stöcklin, J., 1961- Lagoonal formation and salt dome in East Iran. *Iran. Petrol. Inst. Bull.*, 29-46.

The Upper Triassic Sphinctozoan Sponges of the Howz-e Khan Member of the Nayband Formation, Southwest of Naybandan, East Central Iran

K. Rashidi ^{1*} & B. Saberzadeh ²

¹Assistant Professor, Department of Geology, Payame Noor University, Tehran, Iran

²Ph.D. Student, Ferdowsi University of Mashhad, International Campus, Mashhad, Iran

Received: 2012 July 03

Accepted: 2014 January 06

Abstract

The Upper Triassic sediments in the Central Iran are known as Nayband Formation. They are a set of carbonatic and detritic sediments that can be divided into several members. The carbonatic Bidestan and Howz-e Khan members contain a diverse fauna and flora. In order to study and identify the taxonomic inventory of the Howz-e Khan member, two profiles were studied in the Naybandan area. The first one is located in southwest of Dig-e Rostam and the second one in southwest of the type locality, which were both sampled systematically. Moreover, unsystematic samples were taken from different parts of the area, which led to the recognition of various algae, foraminifera and sponges. This paper introduces the following sphinctozoan sponges: *Nevadathalamia variabilis*, *Amblysiphonella* sp., *Discosiphonella* sp., *Kashanella irregularis*, *Paradeningeria alpina*, *Tabasia maxima*, *Tabasia media*, and *Tabasia minima*. The lithological and sedimentary structures as well as the microfacies indicate that the Howz-e Khan member has been formed in a shallow marine, near the coastal environment. These circumstances provided perfect conditions for patch-reef-forming organisms (here: sphinctozoan sponges) in the carbonates of the Howz-e Khan member.

Key words: Upper Triassic, Sphinctozoan, Sponges, Howz-e Khan, Nayband Formation, Central Iran.

For Persian Version see pages 173 to 182

*Corresponding author: K. Rashidi; E-mail: kooroshrashidi@pnu.ac.ir